



# Numerische Methoden I – FEM/REM

Dr.-Ing. Markus Kästner  
ZEU 353  
Tel.: 0351 463 32656  
E-Mail: [Markus.Kaestner@tu-dresden.de](mailto:Markus.Kaestner@tu-dresden.de)

Dresden, 23.10.2013

## Tensornotation

- Tensoren 1. Stufe = Vektor, Bsp.: Ortsvektor, Verschiebungsvektor

$$\mathbf{x} = \sum_{i=1}^3 x_i \mathbf{e}_i = x_i \mathbf{e}_i = x_k \mathbf{e}_k \quad \mathbf{u} = \sum_{i=1}^3 u_i \mathbf{e}_i = u_i \mathbf{e}_i$$

- Tensoren 2. Stufe, Bsp.: Spannungstensor, Verzerrungstensor

$$\boldsymbol{\sigma} = \sum_{i=1}^3 \sum_{j=1}^3 \sigma_{ij} \mathbf{e}_i \mathbf{e}_j = \sigma_{ij} \mathbf{e}_i \mathbf{e}_j \quad \boldsymbol{\varepsilon} = \sum_{i=1}^3 \sum_{j=1}^3 \varepsilon_{ij} \mathbf{e}_i \mathbf{e}_j = \varepsilon_{ij} \mathbf{e}_i \mathbf{e}_j$$

- Beispiel: Skalarprodukt von zwei Vektoren

$$\mathbf{a} \cdot \mathbf{b} = a_i b_j \mathbf{e}_i \cdot \mathbf{e}_j = a_i b_j \delta_{ij} = a_i b_i = a_1 b_1 + a_2 b_2 + a_3 b_3$$

Tensoren = physikalische Größen → feste Transformationsbeziehungen  
bei Wechsel des Bezugssystems

## Tensornotation

- Tensoren 1. Stufe = Vektor, Bsp.: Ortsvektor, Verschiebungsvektor

$$\mathbf{x} = \sum_{i=1}^3 x_i \mathbf{e}_i = x_i \mathbf{e}_i = x_k \mathbf{e}_k \quad \mathbf{u} = \sum_{i=1}^3 u_i \mathbf{e}_i = u_i \mathbf{e}_i$$

- Tensoren 2. Stufe, Bsp.: Spannungstensor, Verzerrungstensor

$$\boldsymbol{\sigma} = \sum_{i=1}^3 \sum_{j=1}^3 \sigma_{ij} \mathbf{e}_i \mathbf{e}_j = \sigma_{ij} \mathbf{e}_i \mathbf{e}_j \quad \boldsymbol{\varepsilon} = \sum_{i=1}^3 \sum_{j=1}^3 \varepsilon_{ij} \mathbf{e}_i \mathbf{e}_j = \varepsilon_{ij} \mathbf{e}_i \mathbf{e}_j$$

- Beispiel: Skalarprodukt von zwei Vektoren

$$\mathbf{a} \cdot \mathbf{b} = a_i b_j \mathbf{e}_i \cdot \mathbf{e}_j = a_i b_j \delta_{ij} = a_i b_i = a_1 b_1 + a_2 b_2 + a_3 b_3$$

Tensoren = physikalische Größen → feste Transformationsbeziehungen  
bei Wechsel des Bezugssystems

## Grundgleichungen der Kontinuumsmechanik, 1D-Spezialfall

Impuls- und Drehimpulsbilanz mit  $(\quad)_{,k} = \frac{\partial(\quad)}{\partial x_k}$

$$\begin{aligned}\sigma_{kl,k} + \rho f_l &= \rho a_l, & \text{Statik : } \sigma_{kl,k} + \rho f_l &= 0 & \frac{d\sigma}{dx} + \rho g &= 0 \\ \sigma_{kl} &= \sigma_{lk}\end{aligned}$$

kinetische Annahmen:

- einachsiger Spannungszustand  $\sigma_{11} = \sigma_{xx} = \sigma$ ;  $\sigma_{ij} = 0$  sonst
- einachsige Belastung  $f_1 = f_x = f = g$
- homogene Spannungsverteilung im Querschnitt  $\sigma = \text{konst.}$

$$\rightarrow \frac{dF_L}{dx} + q = 0$$

$\rightarrow$  Längskraft  $F_L = \int \sigma \, dA = \sigma A$  und Linienlast  $q = \int \rho g \, dA = \rho g A$

### Verzerrungs-Verschiebungsbeziehungen (Kinematik)

$$\epsilon_{kl} = \frac{1}{2} (u_{k,l} + u_{l,k}) \quad \epsilon_{11} = \epsilon_{xx} = \epsilon = \frac{du}{dx}$$

kinematische Annahmen:

- Verschiebung in Richtung der Stabachse  $u_1 = u_x = u$
- ebene Querschnitte

### Konstitutive Beziehungen (Materialverhalten)

$$\sigma_{kl} = \sigma_{kl}(\epsilon_{mn}), \quad \text{lineare Elastizität : } \sigma_{kl} = C_{klmn} \epsilon_{mn} \quad \sigma = E \epsilon$$

## Grundgleichungen der Kontinuumsmechanik, 1D-Spezialfall

Impuls- und Drehimpulsbilanz mit  $(\quad)_{,k} = \frac{\partial(\quad)}{\partial x_k}$

$$\begin{aligned}\sigma_{kl,k} + \rho f_l &= \rho a_l, & \text{Statik : } \sigma_{kl,k} + \rho f_l &= 0 & \frac{d\sigma}{dx} + \rho g &= 0 \\ \sigma_{kl} &= \sigma_{lk}\end{aligned}$$

kinetische Annahmen:

- einachsiger Spannungszustand  $\sigma_{11} = \sigma_{xx} = \sigma$ ;  $\sigma_{ij} = 0$  sonst
- einachsige Belastung  $f_1 = f_x = f = g$
- homogene Spannungsverteilung im Querschnitt  $\sigma = \text{konst.}$

$$\rightarrow \frac{dF_L}{dx} + q = 0$$

$\rightarrow$  Längskraft  $F_L = \int \sigma \, dA = \sigma A$  und Linienlast  $q = \int \rho g \, dA = \rho g A$

### Verzerrungs-Verschiebungsbeziehungen (Kinematik)

$$\epsilon_{kl} = \frac{1}{2} (u_{k,l} + u_{l,k}) \quad \epsilon_{11} = \epsilon_{xx} = \epsilon = \frac{du}{dx}$$

kinematische Annahmen:

- Verschiebung in Richtung der Stabachse  $u_1 = u_x = u$
- ebene Querschnitte

### Konstitutive Beziehungen (Materialverhalten)

$$\sigma_{kl} = \sigma_{kl}(\epsilon_{mn}), \quad \text{lineare Elastizität : } \sigma_{kl} = C_{klmn} \epsilon_{mn} \quad \sigma = E \epsilon$$

## Grundgleichungen der Kontinuumsmechanik, 1D-Spezialfall

Impuls- und Drehimpulsbilanz mit  $(\quad)_{,k} = \frac{\partial(\quad)}{\partial x_k}$

$$\sigma_{kl,k} + \rho f_l = \rho a_l, \quad \text{Statik : } \sigma_{kl,k} + \rho f_l = 0 \quad \frac{d\sigma}{dx} + \rho g = 0$$

$$\sigma_{kl} = \sigma_{lk}$$

kinetische Annahmen:

- einachsiger Spannungszustand  $\sigma_{11} = \sigma_{xx} = \sigma$ ;  $\sigma_{ij} = 0$  sonst
- einachsige Belastung  $f_1 = f_x = f = g$
- homogene Spannungsverteilung im Querschnitt  $\sigma = \text{konst.}$

$$\rightarrow \frac{dF_L}{dx} + q = 0$$

→ Längskraft  $F_L = \int \sigma dA = \sigma A$  und Linienlast  $q = \int \rho g dA = \rho g A$

## Verzerrungs-Verschiebungsbeziehungen (Kinematik)

$$\epsilon_{kl} = \frac{1}{2} (u_{k,l} + u_{l,k}) \quad \epsilon_{11} = \epsilon_{xx} = \epsilon = \frac{du}{dx}$$

kinematische Annahmen:

- Verschiebung in Richtung der Stabachse  $u_1 = u_x = u$
- ebene Querschnitte

## Konstitutive Beziehungen (Materialverhalten)

$$\sigma_{kl} = \sigma_{kl}(\epsilon_{mn}), \quad \text{lineare Elastizität : } \sigma_{kl} = C_{klmn} \epsilon_{mn} \quad \sigma = E \epsilon$$



## Grundgleichungen der Kontinuumsmechanik, 1D-Spezialfall

Impuls- und Drehimpulsbilanz mit  $(\quad)_{,k} = \frac{\partial(\quad)}{\partial x_k}$

$$\sigma_{kl,k} + \rho f_l = \rho a_l, \quad \text{Statik: } \sigma_{kl,k} + \rho f_l = 0 \quad \frac{d\sigma}{dx} + \rho g = 0$$

$$\sigma_{kl} = \sigma_{lk}$$

kinetische Annahmen:

- einachsiger Spannungszustand  $\sigma_{11} = \sigma_{xx} = \sigma$ ;  $\sigma_{ij} = 0$  sonst
- einachsige Belastung  $f_1 = f_x = f = g$
- homogene Spannungsverteilung im Querschnitt  $\sigma = \text{konst.}$

$$\rightarrow \frac{dF_L}{dx} + q = 0$$

$\rightarrow$  Längskraft  $F_L = \int \sigma \, dA = \sigma A$  und Linienlast  $q = \int \rho g \, dA = \rho g A$

## Verzerrungs-Verschiebungsbeziehungen (Kinematik)

$$\epsilon_{kl} = \frac{1}{2} (u_{k,l} + u_{l,k}) \quad \epsilon_{11} = \epsilon_{xx} = \epsilon = \frac{du}{dx}$$

kinematische Annahmen:

- Verschiebung in Richtung der Stabachse  $u_1 = u_x = u$
- ebene Querschnitte

## Konstitutive Beziehungen (Materialverhalten)

$$\sigma_{kl} = \sigma_{kl}(\epsilon_{mn}), \quad \text{lineare Elastizität: } \sigma_{kl} = C_{klmn} \epsilon_{mn} \quad \sigma = E \epsilon$$



## Grundgleichungen der Kontinuumsmechanik, 1D-Spezialfall

Impuls- und Drehimpulsbilanz mit  $(\quad)_{,k} = \frac{\partial(\quad)}{\partial x_k}$

$$\sigma_{kl,k} + \rho f_l = \rho a_l, \quad \text{Statik : } \sigma_{kl,k} + \rho f_l = 0 \quad \frac{d\sigma}{dx} + \rho g = 0$$

$$\sigma_{kl} = \sigma_{lk}$$

kinetische Annahmen:

- einachsiger Spannungszustand  $\sigma_{11} = \sigma_{xx} = \sigma$ ;  $\sigma_{ij} = 0$  sonst
- einachsige Belastung  $f_1 = f_x = f = g$
- homogene Spannungsverteilung im Querschnitt  $\sigma = \text{konst.}$

$$\rightarrow \frac{dF_L}{dx} + q = 0$$

$\rightarrow$  Längskraft  $F_L = \int \sigma dA = \sigma A$  und Linienlast  $q = \int \rho g dA = \rho g A$

### Verzerrungs-Verschiebungsbeziehungen (Kinematik)

$$\epsilon_{kl} = \frac{1}{2} (u_{k,l} + u_{l,k}) \quad \epsilon_{11} = \epsilon_{xx} = \epsilon = \frac{du}{dx}$$

kinematische Annahmen:

- Verschiebung in Richtung der Stabachse  $u_1 = u_x = u$
- ebene Querschnitte

### Konstitutive Beziehungen (Materialverhalten)

$$\sigma_{kl} = \sigma_{kl}(\epsilon_{mn}), \quad \text{lineare Elastizität : } \sigma_{kl} = C_{klmn} \epsilon_{mn} \quad \sigma = E \epsilon$$



## Grundgleichungen der Kontinuumsmechanik, 1D-Spezialfall

Impuls- und Drehimpulsbilanz mit  $(\quad)_{,k} = \frac{\partial(\quad)}{\partial x_k}$

$$\sigma_{kl,k} + \rho f_l = \rho a_l, \quad \text{Statik: } \sigma_{kl,k} + \rho f_l = 0 \quad \frac{d\sigma}{dx} + \rho g = 0$$

$$\sigma_{kl} = \sigma_{lk}$$

kinetische Annahmen:

- einachsiger Spannungszustand  $\sigma_{11} = \sigma_{xx} = \sigma$ ;  $\sigma_{ij} = 0$  sonst
- einachsige Belastung  $f_1 = f_x = f = g$
- homogene Spannungsverteilung im Querschnitt  $\sigma = \text{konst.}$

$$\rightarrow \frac{dF_L}{dx} + q = 0$$

$\rightarrow$  Längskraft  $F_L = \int \sigma dA = \sigma A$  und Linienlast  $q = \int \rho g dA = \rho g A$

### Verzerrungs-Verschiebungsbeziehungen (Kinematik)

$$\varepsilon_{kl} = \frac{1}{2} (u_{k,l} + u_{l,k}) \quad \varepsilon_{11} = \varepsilon_{xx} = \varepsilon = \frac{du}{dx}$$

kinematische Annahmen:

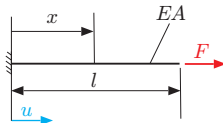
- Verschiebung in Richtung der Stabachse  $u_1 = u_x = u$
- ebene Querschnitte

### Konstitutive Beziehungen (Materialverhalten)

$$\sigma_{kl} = \sigma_{kl}(\varepsilon_{mn}), \quad \text{lineare Elastizität: } \sigma_{kl} = C_{klmn} \varepsilon_{mn} \quad \sigma = E \varepsilon$$

## Minimum des elastischen Gesamtpotentials – Beispiel

- Kontinuum  $\rightarrow \Pi$  ist ein Funktional, notwendige Bed.:  $\delta \Pi = 0$
- Bsp.: Zugstab belastet durch konstante Einzelkraft



- Reduktion auf diskretes System  $\delta \Pi = 0 \rightarrow \frac{d\Pi}{du} = 0$

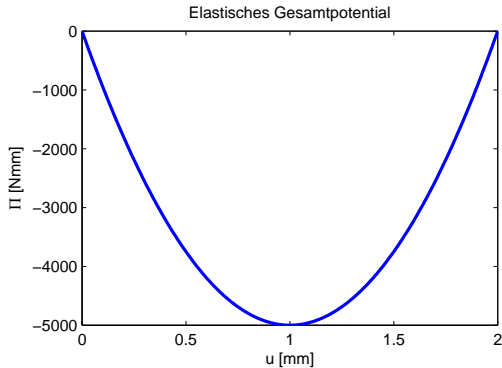
$$\Pi = \int_0^l \frac{1}{2} EA u'(x)^2 dx - Fu(l) \quad \text{mit} \quad u'(x) = \varepsilon = \frac{u(l)}{l} = \text{konst.}$$

$$\Pi = \int_0^l \frac{1}{2} EA \frac{u^2(l)}{l^2} dx - Fu(l) = \frac{1}{2} EA \frac{u^2(l)}{l} - Fu(l)$$

- notwendige Bedingung für stationären Wert (Minimum)

$$\frac{d\Pi}{du} = \frac{EA}{l} u(l) - F = 0 \quad \rightarrow u(l) = \frac{Fl}{EA}$$

## Minimum des elastischen Gesamtpotentials – Beispiel



$$\Pi = \frac{1}{2}EA\frac{u^2}{l} - Fu$$

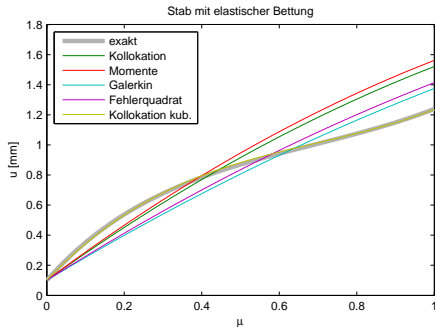
# Näherungsverfahren auf Basis der starken Form – Übersicht

- Einarbeitung der RB in den Ansatz  $\rightarrow \tilde{u} = g_0(x) + \sum_{i=1}^n g_i(x)u_i$
- Gewichtetes Residuum  $\int_0^l \underbrace{(EA\tilde{u}''(x) + p(x))}_{\eta(x)} w_i(x) dx = 0 \rightarrow i = 1 \dots n$  Gleichungen für  $u_i$

Verfahren	Wichtungsfunktion	GLS ( $n$ Gleichungen) aus
Kollokation	Dirac-Impuls $w_i(x) = \delta(x - \xi_i)$	$\eta(\xi_i) = 0$ $\rightarrow EAu''(\xi_i) + p(\xi_i) = 0$
Methode der Momente	$n$ linear unabhängige Funktionen $w_i(x) = x^i, i = 0 \dots n - 1$	$\int_0^l \eta(x)w_i(x) dx = 0$
Galerkin-Verfahren	Basisfunktionen des Ansatzes $w_i(x) = g_i(x)$	$\int_0^l \eta(x)g_i(x) dx = 0$
Minimum des Fehlerquadratintegrals	$w_i(x) = \frac{\partial \eta(x)}{\partial u_i}$	$\int_0^l \eta^2(x) dx \rightarrow \min$

$\xi_i \dots$  diskrete Kollokationspunkte

## Näherungsverfahren auf Basis der starken Form – Beispiel Zugstab mit elastischer Bettung



$$u_1 \text{ Koll, } \xi=0.5 = 1.8421 \text{ mm}$$

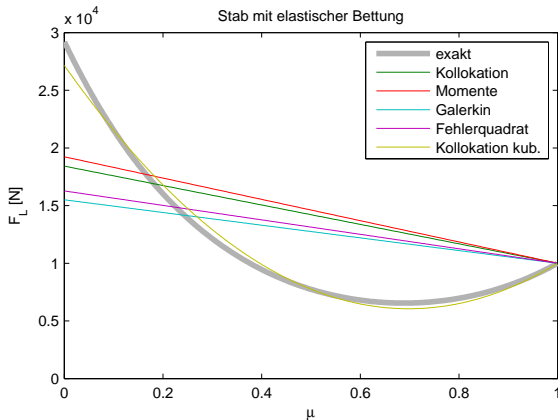
$$u_1 \text{ Mom, } w=1 = 1.9231 \text{ mm}$$

$$u_1 \text{ Galerkin} = 1.5500 \text{ mm}$$

$$u_1 \text{ FQ} = 1.6270 \text{ mm}$$

Lösung mit kubischem Ansatz s. Skript S. 7ff

# Näherungsverfahren auf Basis der starken Form – Beispiel Zugstab mit elastischer Bettung



## Zusammenfassung 2. Vorlesung

- Näherungsweise Lösung von RWA
- Ansatz für Feldgröße, z.B. Verschiebung
- Differentialgleichung und RB i. A. nicht mehr an jedem Punkt exakt erfüllbar
- Residuen  $\eta_i(x)$
- Ausgangspunkt für Näherungsverfahren: Methode der Gewichteten Residuen
  - Starke Form
  - Schwache Form
  - Inverse Form
- Ziel: GLS zur Berechnung der Ansatzfreiwerte
- Näherungsverfahren definiert durch:
  - Form der gewichteten Residuen (stark/schwach/invers)
  - Anforderungen an Ansatzfunktion
  - Wahl der Wichtungsfunktion